

# ИССЛЕДОВАНИЕ РАСПРЕДЕЛЕНИЯ ПАРАМАГНИТНОГО АЗОТА ПО НЕЭКВИВАЛЕНТНЫМ ПОЗИЦИЯМ В 6H SiC

*Е. Н. Калабухова, Н. Н. Кабдин, С. Н. Лукин, Т. Л. Петренко*

В работе [1] было проведено исследование спектров ЭПР азота в 6H SiC на радиоспектрометре ЭПР 2-мм диапазона длин волн типа ЭПР 5-04 М. Высокая разрешающая способность спектрометра позволила обнаружить три спектра ЭПР от трех неэквивалентных позиций азота.

В настоящей работе проведено исследование спектров ЭПР азота в образцах 6H SiC с различной степенью компенсации в 2-мм диапазоне длин волн при  $T=4.2$  К. На рис. 1 представлены спектры ЭПР азота в 6H SiC при ориентации магнитного поля параллельно главной оси кристалла ( $H_0 \parallel c$ ) образцов с различной степенью компенсации.

Из-за неоднородности материала нам удалось провести только качественное сравнение вида спектра ЭПР азота образцов с различной степенью компенсации. Как видно из рис. 1, a—e, при  $N_D - N_A > 3 \cdot 10^{16} \text{ см}^{-3}$  наблюдаются три спектра  $\mathcal{J}_1, \mathcal{J}_2, \mathcal{J}_3$  от двух кубических и одной гексагональной позиций азота. В образцах с  $N_D - N_A < 2 \cdot 10^{16} \text{ см}^{-3}$  (рис. 1, e) наблюдаются лишь два спектра  $\mathcal{J}_1$  и  $\mathcal{J}_2$  от двух кубических позиций азота.

Относительные интенсивности линий спектров ЭПР  $\mathcal{J}_1, \mathcal{J}_2, \mathcal{J}_3$  определялись с учетом ширины и формы компонент спектров и приведены в таблице (для образцов № 1—5). Анализ формы линий показал, что линии

Относительные интенсивности линий спектров ЭПР  
от неэквивалентных позиций азота в образцах 6H SiC  
с различной степенью компенсации  $N_D - N_A$ .  $T=4.2$  К

$\mathcal{J}_i$	$N_D - N_A < 2 \cdot 10^{16} \text{ см}^{-3}$		$N_D - N_A > 3 \cdot 10^{16} \text{ см}^{-3}$		
	№ 1	№ 2	№ 3	№ 4	№ 5
$\mathcal{J}_3$			0.50	0.80	0.33
$\mathcal{J}_2$	0.75	0.50	0.95	0.80	0.66
$\mathcal{J}_1$	1	1	1	1	1

П р и м е ч а н и е. За единичную интенсивность принята интенсивность спектра  $\mathcal{J}_1$ .

сверхтонкого взаимодействия (СТВ) трех спектров имеют гауссову форму. В образцах, у которых наблюдаются спектры ЭПР от двух кубических позиций азота, ширина линий СТВ спектра  $\mathcal{J}_1$  в 1.2 раза больше, чем спектра  $\mathcal{J}_2$ . В образцах, у которых наблюдаются три спектра ЭПР азота, ширины линий СТВ от кубических позиций одинаковые и равны  $\Delta H = -1.7 \pm 0.1$  Э. Ширина линии от гексагональной позиции равна  $\Delta H = -2.5 \pm 0.1$  Э.

Для идентификации спектров ЭПР азота с его уровнями залегания [2, 3] были использованы данные по оптической перезарядке примеси азота межзонным светом.

На рис. 2 представлен спектр ЭПР азота в 6H SiC, снятый на частоте  $v=37$  ГГц при ориентации магнитного поля, близкой к перпендикулярной главной оси кристалла ( $\theta=25^\circ$ ), при  $T=100$  К до и после освещения образца межзонным светом.

Отношение интенсивностей компонент спектров  $\mathcal{J}_1$  и  $\mathcal{J}_2$  в темноте равно  $\mathcal{J}_1 : \mathcal{J}_2 = 1 : 0.75$ . На рис. 2 положение линии от гексагональной позиции азота  $\mathcal{J}_3$  при  $\theta=25^\circ$  указано стрелкой. Для определения интенсивностей линий спектров  $\mathcal{J}_1$  и  $\mathcal{J}_2$  проводилось разделение перекрытых

компонент с учетом того, что они имеют одинаковую ширину и гауссову форму. Разделение линий проводилось для третьих компонент спектров  $\mathcal{J}_1$  и  $\mathcal{J}_2$ , не перекрывающихся с линией от гексагональной позиции азота на частоте 37 ГГц.

При освещении образца межзонным светом интенсивность линии от гексагональной позиции азота значительно возрастает, и она вносит искашение в первую сверхтонкую компоненту спектра  $\mathcal{J}_2$ . Соотношение же интенсивностей компонент спектров  $\mathcal{J}_1$  и  $\mathcal{J}_2$  изменилось и стало равным

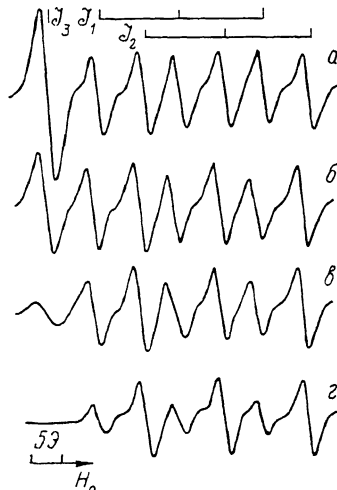


Рис. 1. Вид спектра ЭПР азота в образцах 6HSiC с различной степенью компенсации.

$H_0 \parallel c$ ,  $v=132$  ГГц,  $T=4.2$  К. Образцы: а — № 4, б — № 3, в — № 5, г — № 2.

$\mathcal{J}_1 : \mathcal{J}_2 = 1 : 0.9$ . При этом интенсивность сверхтонких компонент спектра  $\mathcal{J}_1$  увеличилась в  $k_1=1.14$  раз, а спектра  $\mathcal{J}_2$  в  $k_2=1.35$  раз.

Полученные результаты свидетельствуют о том, что спектру  $\mathcal{J}_3$  соответствует мелкий уровень залегания азота, а из двух спектров  $\mathcal{J}_1$  и  $\mathcal{J}_2$  от двух кубических позиций азота спектр  $\mathcal{J}_2$  соответствует более мелкому уровню залегания азота, чем  $\mathcal{J}_1$ , в предположении, что сечения захвата электронов у трех мелких уровней донора сравнимы по величине. Вероятность заполнения электронами мелкого уровня азота и появление в спектре ЭПР линии  $\mathcal{J}_3$  зависит от степени компенсации образцов.

Авторы благодарят В. С. Лысого за помощь в проведении экспериментов по оптической перезарядке азота в 6HSiC.

#### Л и т е р а т у р а

- [1] Калабухова Е. Н., Кабдин Н. Н., Лукин С. Н. ФТТ, 1987, т. 29, № 8, с. 2532—2533.
- [2] Hamilton R. D., Choyke W. J., Patrick L. Phys. Rev., 1963, vol. 131, N 1, p. 127—133.
- [3] Вакуленко О. В., Гусева О. А. ФТП, 1981, т. 15, № 8, с. 1528—1530.

Институт полупроводников АН УССР  
Киев  
Донецкий физико-технический институт  
АН УССР  
Донецк

Поступило в Редакцию  
1 марта 1988 г.